

سنگ‌شناسی، شیمی کانی‌ها و سنگ‌زایی متابولیت‌های مجموعه تنبور واقع در شرق سیرجان (استان کرمان)

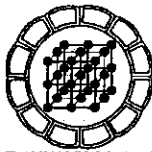
عباس مرادیان، سیما پیغمبری، حمید احمدی‌پور

بخش زمین‌شناسی، دانشگاه شهید باهنر کرمان
پست الکترونیکی: peighambari80@yahoo.com

(دریافت مقاله ۱۳۸۴/۳/۱۹ ، دریافت نسخه نهایی ۱۳۸۴/۶/۳۱)

چکیده: مجموعه دگرگونی تنبور شرق سیرجان در استان کرمان از نظر سنگ‌شناسی شامل تنایی از سنگ‌های رسوبی و دگرگون شده است. بررسی‌های بافت‌شناسی سنگ‌های متابولیتی منطقه مورد مطالعه حاکی از دو فاز دگرگون و دو فاز دگر شکل است. مجموعه کانی‌های تشکیل شده در فاز نخست شامل بیوتیت، مسکویت و گارنت و ... می‌شود در فاز دوم دگرگونی، پیدایش استارولیت همراه با کانی‌های بالا در حد نهایی دگرگونی می‌باشد. مطالعات شیمی کانی‌های دگرگون نشان می‌دهد که فاز دوم دگرگونی نسبت به فاز نخست در درجه بالاتری قرار داشته و احتمالاً تا اوائل رخساره آمفیبوليٹ پیش رفته است. دما و فشارهایی در حدود ۵۵۰ تا ۵۹۰ درجه سانتیگراد و ۷ الی ۸/۴۸ کیلوبار از محاسبات زمین دما- فشارسنجی برآورد شد. این اطلاعات می‌توانند حاکی از این باشند که سنگ‌های دگرگون در یک رژیم دما- فشار متوسط (بارووین) تشکیل شده‌اند.

واژه‌های کلیدی: جنوب ایران، زون سنترج - سیرجان، تنبور.



Petrology, mineral chemistry and petrogenesis of metapelites of Tanbour metamorphic complex, east of Sirjan (Kerman province)

A. Moradian, S. Peighambari, H. Ahmadipour

Department of Geology, Shahid Bahonar University of Kerman, Kerman, Iran.
E-mail: peighambary80@yahoo.com

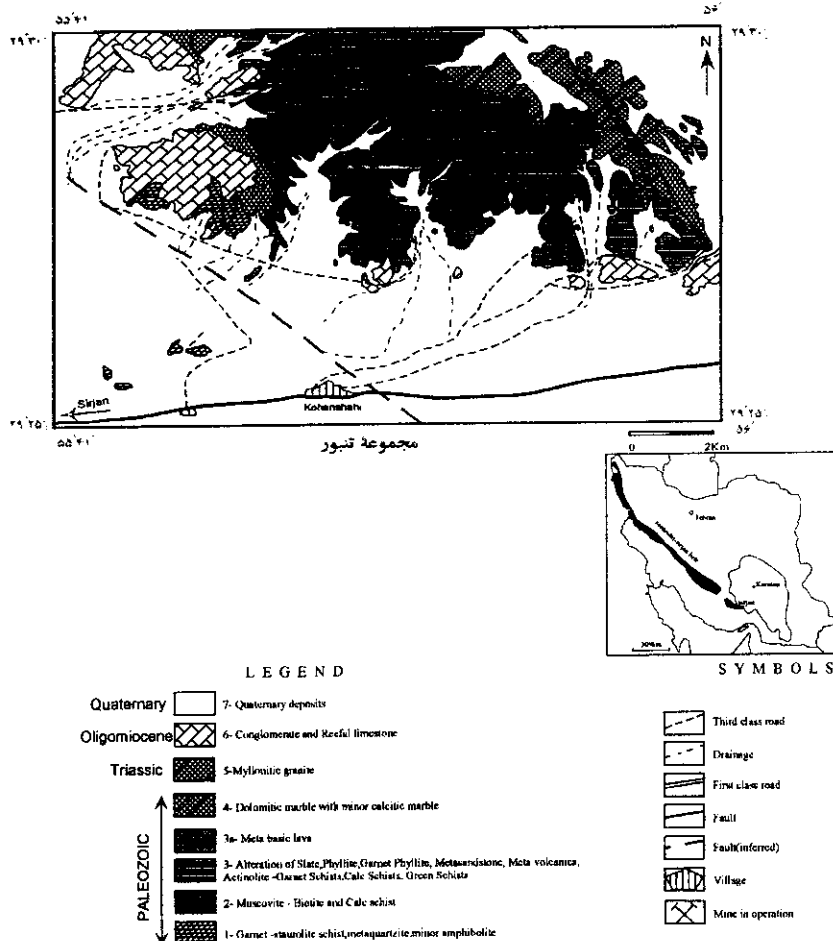
(Received: 9/06/2005, received in revised form: 22/09/2005)

Abstract: Tanbour metamorphic complex east of Sirjan is composed of metasediments and metabasic rocks. Petrofabric study of this complex shows two metamorphic and two deformational phases. Chemical studies of index minerals indicate that second phase of metamorphism occurred with a degree up to lower amphibolite facies. Mineral assemblage of first phase are biotite, muscovite and garnet while staurolite appears in peak of second phase of metamorphism. Mineral chemistry studies indicate that second phase of metamorphism occurred up to staurolite zone. Temperatures and pressures about 550-590 °C and 7-8/48 kb were also estimated using geothermobarometry. The data suggest that these metamorphic rocks underwent a medium P metamorphic event

Keywords: South of Iran, Sanandaj – Sirjan belt, Tanbour.

مقدمه

منطقه مورد مطالعه شامل مجموعه تپبور در ۲۵ کیلومتری شرق سیرجان است. این مجموعه از لحاظ زمین‌شناسی در جنوب شرقی کمریند دگرگونی سنندج - سیرجان قرار دارد (شکل ۱). این مجموعه از نظر سنگ‌شناسی شامل تنابی از سنگ‌های رسی، مارنی و بازیک دگرگون شده متعلق به پارینه زیستی است [۱]. مجموعه کانی‌شناسی مشاهده شده در سنگ‌های رسی دگرگون شامل میکای سفید، کلریت، بیوتیت، گارنت، کوارتز ± پلاژیوکلاز ± استارولیت می‌شود. دگرگونی سنگ‌های رسی، سبب ایجاد ریزاساختها و کانی‌های دگرگون شده است که مرتبط به حواض تکتونوتراکتیکی با چندین فاز دگرگشکلی و دگرگونی هستند. در این پژوهش با نگرشی ویژه به شواهد بافت‌شناسی سنگ، شیمی کانی‌ها و زمین دما - فشار سنگی به بررسی سنگزایی این مناطق می‌پردازیم.



شکل ۱ نقشه زمین‌شناسی منطقه مورد مطالعه و موقعیت آن نسبت به زون سنندج - سیرجان (سیزهای با اندکی تغییر).

روش مطالعه

برای بدست آوردن ترکیب شیمیایی کانی‌های مختلف و زمین دما- فشارسنجی، کانی‌ها با ریزکاو الکترونی 8600 Jeol JXA ۱۵ KV با شرایط ولتاژ ۱۵ nA، در دانشگاه مونستر آلمان مورد تجزیه شیمیایی قرار گرفتند. نتایج تجزیه شیمیایی، با استفاده از برنامه AX و MinPet مورد بررسی قرار گرفت و فعالیت (کارایی) و تعداد کاتیون‌های مورد نظر محاسبه شدند. در زیر ویژگی‌های بافتی نسل‌های مختلف کانی‌ها و نحوه تشکیل و ترکیب شیمیایی آنها مورد بحث قرار خواهد گرفت.

بحث و بررسی

مطالعه بافت‌شناسی سنگ‌های منطقه مورد مطالعه حاکی از عملکرد حداقل دو فاز دگرشکل و دو فاز دگرگون است در صورتیکه مؤذن [۲] سه فاز دگرگون و دو دگرشکل را در منطقه تنبور تشخیص داده است. فاز نخست دگرشکل (D1)، که به همراه فاز اول دگرگون (M1) بوده، است، سبب ایجاد کلیواژ اسلیتی S1 شده (شکل ۲) و کانی‌هایی چون بیوتیت، مسکویت، کلریت، گارنت را در سنگ‌ها بوجود آورده است. دومین فاز دگرشکل (D2) ریزچین‌هایی را بر روی شیستوزیتة S1 بوجود آورده (شکل ۳) که با ادامه آن شیستوزیتة S2 بوجود آمده است. این فاز با دگرگونی فاز دوم (M2) همزمان بوده و کانی‌هایی از قبیل بیوتیت، گارنت ± استارولیت را تشکیل داده است. به نظر می‌رسد در مراحل انتهایی این فاز دگرگون در طول افزایش دما، گارنت توانسته دچار رشد مجدد شود.

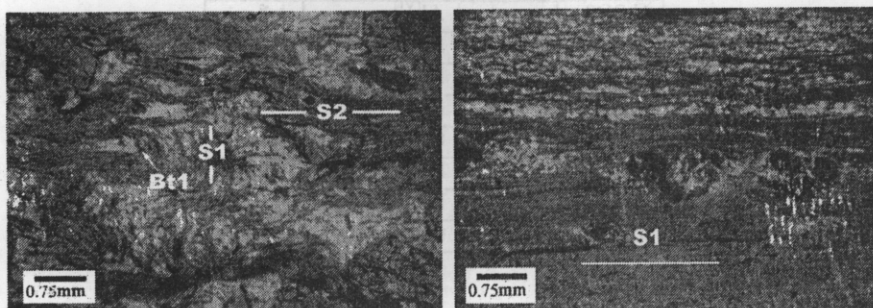
شیمی کانی‌ها و شواهد بافتی تکامل دگرگونی کلریت

به طور کلی کلریت ۲ نسل بافتی را در سنگ‌های منطقه مورد مطالعه از خود نشان می‌دهد:

- کلریت نسل ۱: این نوع کلریت اکثراً شیستوزیته S1 را در منطقه تنبور تشکیل داده است و سپس در زمان تشکیل S2، دستخوش لغزش یا دگرشکلی شده است.
- کلریت نسل ۲: نسل دوم از کلریت‌ها در اثر نفوذ آبغونها تشکیل شده‌اند و الگوی Si در آنها نسبت به Se در یک جهت قرار گرفته‌اند (شکل ۴). بین نمونه‌های کلریت، یک نمونه از کلریت‌های نسل دوم مورد تجزیه ریز گمانه قرار گرفت (جدول ۱). ترکیب شیمیایی این نوع کلریت بر اساس نمودارهای [۳]، در محدوده ریبدولیت قرار می‌گیرد (شکل ۵). مقدار X_{Fe} این نوع ۰٪ و تعداد Si آن ۲۶۱۱ بر مبنای ۱۴ اکسیژن است. به منظور گرماستنجی مرحله تشکیل کلریت‌های نسل دوم از دماستنج آلومینیم چهاروجهی در ساختمان کلریت که توسط [۴]، ارائه شده است، استفاده شد. معادله خطی بین مقدار آلومینیم و گرما تشکیل به صورت زیر است:

$$T(C) = -61.9229 + 321.9773 (Al^{IV})$$

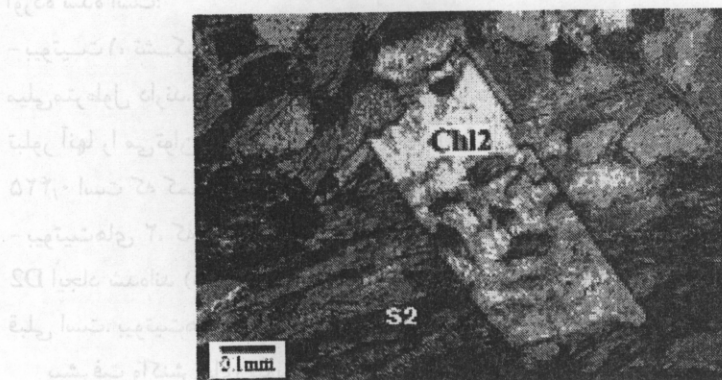
مقدار $\text{Al}/(\text{IV})$ کلریت مورد نظر برابر با ۱/۴۰۷ است؛ که بدین ترتیب دمای تشکیل کلریت در حدود ۳۹۱ بdest می‌آید (شکل ۶). علت تشکیل کلریت‌های تأخیری را می‌توان، دو عامل در نظر گرفت: اول تأثیر دما به علت بالا رفتن گرادیان زمین گرمائی به صورت استاتیک و دوم تأثیر آبگونها با ترکیب مناسب و در دمای ثابت (بدون بالا رفتن دما) [۵].



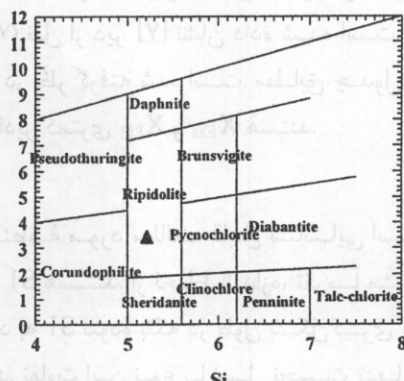
شکل ۳ رابطه دوبرگواره S_1 و S_2 و نسلهای مختلف بیوتیت (PPL).

شکل ۲ فولیاسیون S_1 (XPL)

تسته اند



شکل ۴ کلریت نسل ۲ (XPL).



شکل ۵ ترکیب شیمیایی یک نمونه کلریت [۳]. شکل ۶ محاسبه دمای تشکیل کلریت براساس [۴]

جدول ۱ نتایج تجزیه شیمیایی یک نمونه از کلریت نسل چهارم و محاسبه کاتیونها بر مبنای ۱۴ اکسیژن

کلریت		فرمول ساختمانی	
SiO ₂	۲۵,۲	Si	
TiO ₂	۰,۱۲	Ti	۰,۰۰۹
Al ₂ O ₃	۲۲,۱۵	Al ^(IV)	۱,۴۰۸
Cr ₂ O ₃	۰	Al ^(VI)	۱,۳
FeO	۱۹,۸۲	Fe ²⁺	۱,۷۱۸
MnO	۰	Mn	۰
MgO	۱۸,۱۱	Mg	۲,۷۹۸
CaO	۰,۰۲	Ca	۰,۰۰۲
Na ₂ O	۰,۰۲	Na	۰,۰۰۵
K ₂ O	۰	K	۰,۰۰۱
total	۸۹,۴۵	total	۹,۹۶۹

بیوتیت

روابط بافتی و ساختاری نشان از ۲ نسل بیوتیت دارند که ترکیب شیمیایی آنها در جدول ۲ آورده شده است:

- بیوتیت ۱، تشکیل دهنده برگوارگی S1 شیسته‌های تنبور بوده (شکل ۳) و تا ۰,۲ میلی‌متر طول دارند. بیوتیت‌های این مرحله بر اثر دگرشکلی D2 دچار چین خوردگی شده و تبلور آنها را می‌توان همزمان با فاز دگرگونی M1 دانست. مقدار X_{Fe} در این نوع بیوتیت برابر با ۰,۴۲۵ است که کمتر از این مقدار در سایر انواع بیوتیت است.

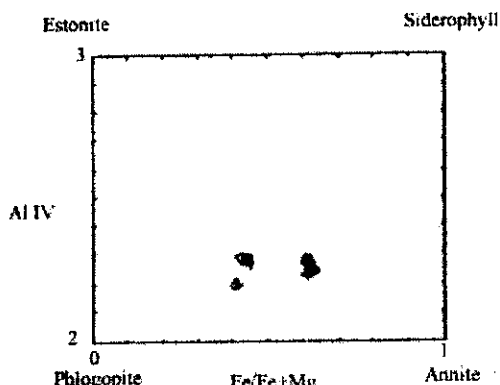
- بیوتیت‌های ۲، که همراه با مسکویت، فولیاسیون S2 را تشکیل داده و در طی فاز دگرشکلی D2 ایجاد شده‌اند (شکل ۳). X_{Fe} در آنها در حدود ۰,۴۴ تا ۰,۶۳ می‌باشد، که بیشتر از نوع قبلی است. بیوتیت‌های موجود در نمونه استارولیت دار حاوی مقادیر کمتری X_{Fe} هستند.

پیشرفت واکنش‌های پیوسته دگرگونی مولد بیوتیت، سبب کاهش در نسبت Fe²⁺/Mg می‌شود [۶]. به این ترتیب، در بیوتیت‌های نسل دوم یعنی سازنده S2، درصد X_{Fe} از زون گارنت به سمت اوایل زون استارولیت کاهش یافته است. موقعیت بیوتیت‌های مذکور در نمونه فلوگوپیت-آنایت-ایستونایت-سیدروفیلیت (شکل ۷) نقل از دیر [۷] نشان داده شده است. در این بررسی، Fe موجود در بیوتیت به عنوان Fe²⁺ در نظر گرفته شده است. مطابق جدول ۲، اکثر نمونه‌ها، دارای مقدار قابل توجهی X_{Ann} و مقادیر کمتری X_{Phl} و X_{Eas} هستند.

مسکویت

همانند بیوتیت دو نسل از مسکویت در سنگهای منطقه مورد مطالعه قابل شناسایی است. نخستین نسل از آنها تشکیل دهنده کلیواز اسلیتی S1 هستند. از لحاظ اندازه، تقریباً مشابه بیوتیت‌های نسل اولند. ظهر این کانی تنها محدود به S1 بوده بلکه در طول شکل گیری S2 نیز متبلور شده‌اند و گوارگی S2 را تشکیل داده اند. تفاوت این نوع با نسل نخست تنها در اندازه آنهاست، که تا ۰,۵ میلی‌متر طول دارند. مسکویت‌های نسل یک کمتر دیده شده و آثار

آن را به صورت خمیده مابین S2 می‌توان دید. برای بررسی‌های شیمیابی، چند نمونه از مسکویت‌های تشکیل دهنده S2 مورد تجزیه قرار گرفتند (جدول ۳).



شکل ۷ ترکیب شیمیابی بیوتیت‌های تجزیه شد. (♦، ♦، بیوتیت‌های نسل ۲۰۱)

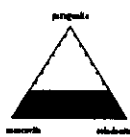
جدول ۲ ترکیب شیمیابی بیوتیت و محاسبه کایونها براساس ۱۱ اکسیژن. مقدار Fe_2O_3 از طریق محاسبات استوکیومتری تعیین شده است.

بیوتیت	T1(1)	T1(2)	T1(3)	T1(4)	T4(1)	T4(2)	T4(3)	T4(4)
SiO_2	۲۶,۴۵	۲۶,۵۴	۲۶,۱۳	۲۶,۲۵	۲۶,۹	۲۶,۹۴	۲۶,۷۲	۲۷,۳۷
TiO_2	۰,۰۴	۰,۵۸	۰,۵۲	۰,۷۴	۱,۷	۱,۳۳	۱,۴۳	۱,۰۲
Al_2O_3	۱۸,۴	۱۷,۱۷	۱۷,۳۲	۱۷,۸۷	۱۹,۰۵	۱۹,۱۴	۱۸,۸۴	۱۸,۹
Cr_2O_3	۰	۰	۰	۰	۰	۰	۰	۰
Fe_2O_3	۰	۰	۰	۰	۰	۰,۱۷	۰,۰۹	۰
FeO	۲۱,۲۲	۲۲,۱۷	۲۱,۸	۲۱,۷۹	۱۵,۰۶	۱۶,۲۹	۱۹,۸۵	۱۵,۷۹
MnO	۰,۰۷	۰,۱۹	۰,۰۷	۰,۲	۰	۰,۱۴	۰	۰,۱۶
MgO	۷,۲۲	۷,۷۳	۷,۸۱	۷,۴۳	۱۱,۸	۱۲,۴۱	۱۲,۱۸	۱۲,۴۵
CaO	۰,۰۳	۰,۰۲	۰,۰۴	۰,۰۳	۰,۰۴	۰	۰	۰,۰۲
Na_2O	۰,۱۴	۰,۰۹	۰,۱	۰,۱	۰,۱۸	۰,۱۶	۰,۲۸	۰,۳۹
K_2O	۹,۴۴	۹,۷۱	۹,۴۹	۹,۳۴	۹,۱۵	۹,۰۹	۸,۹۱	۸,۵
total	۹۹,۹۷	۹۷,۹۸	۹۹,۰۶	۹۹,۵۲	۹۹,۰	۹۵,۳۷	۹۵,۷۸	۹۹,۱
Si	۲,۷۵۲	۲,۷۳۹	۲,۷۵۲	۲,۷۵۱	۲,۷۹۷	۲,۷۲۱	۲,۷۲۴	۲,۷۷۸
Ti	۰,۲۲۹	۰,۲۰۲	۰,۲۰۲	۰,۲۱۳	۰,۱۹	۰,۱۸	۰,۱۸	۰,۱۹۱
$\text{Al}^{(\text{IV})}$	۱,۲۹۹	۱,۲۸۱	۱,۲۹۳	۱,۲۹۹	۱,۲۲۸	۱,۲۸۲	۱,۲۷۸	۱,۲۴۹
$\text{Al}^{(\text{VI})}$	۰,۳۲۹	۰,۲۹۵	۰,۲۸۴	۰,۲۱۸	۰,۲۷۷	۰,۲۹۲	۰,۲۹۹	۰,۳۱۲
Cr	۰	۰	۰	۰	۰	۰	۰	۰
Fe^3	۰	۰	۰	۰	۰	۰,۱۱	۰,۰۳۱	۰
Fe^2	۱,۳۴۱	۱,۳۹	۱,۳۹۱	۱,۳۸۱	۰,۹۷۶	۱,۰۱۵	۱,۰۴۹	۰,۹۹۳
Mn	۰,۰۰۵	۰,۰۱۲	۰,۰۰۵	۰,۰۱۳	۰	۰,۰۲	۰	۰,۰۰۴
Mg	۰,۱۱۳	۰,۰۹۷	۰,۰۸۸	۰,۰۱۸	۱,۳۱۶	۱,۳۷۸	۱,۳۵۲	۱,۳۷۹
Ca	۰,۰۰۳	۰,۰۰۱	۰,۰۰۳	۰,۰۰۲	۰,۰۰۳	۰	۰	۰,۰۰۱
Na	۰,۱۲	۰,۰۱۲	۰,۰۱۴	۰,۰۱۵	۰,۰۲۹	۰,۰۲۳	۰,۰۴۱	۰,۰۵۶
K	۰,۹۱۱	۰,۹۲۹	۰,۹۰۲	۰,۹۰۵	۰,۸۷۶	۰,۸۴۲	۰,۸۴۷	۰,۸۰۷
total	۹۹,۹۸	۹۷,۷۳۷	۹۷,۷۲	۹۷,۹۹۷	۹۷,۷۹۸	۹۷,۷۸۹	۹۷,۸۷۱	۹۷,۷۳۵

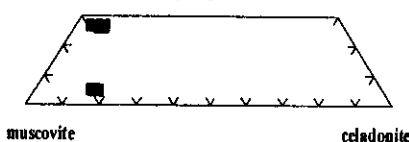
جدول ۳ نتایج تجزیه شیمیایی ۵ نمونه از مسکویت نسل دوم و محاسبه کاتیون‌ها و اجزای انتهایی میکائی سفید براساس ۱۱ اکسیژن.

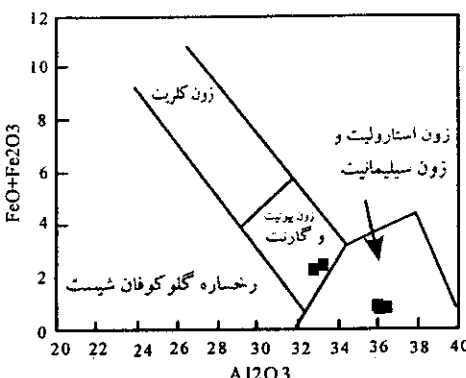
مسکویت	T1 (1)	T1 (2)	T4 (1)	T4 (2)	T4 (3)
SiO ₂	۷۸,۷	۷۸,۱۸	۷۷,۹۷	۷۷,۸۹	۷۸,۱۹
TiO ₂	۱,۷۶	۱,۱۵	۱,۳۲	۰,۳	۰,۳۱
Al ₂ O ₃	۳۲,۱	۳۲,۴۳	۳۶,۶۷	۳۹,۲	۳۶,۱۸
Cr ₂ O ₃	۰,۱۲	۰	۰	۰,۰۴	۰
FeO	۷,۲۷	۷,۲	۷,۷۲	۷,۷۱	۷,۸۷
MnO	۰	۰,۰۹	۰,۰۹	۰,۰۵	۰
MgO	۱,۲	۱,۲۲	۰,۹۳	۰,۷۲	۰,۷۹
CaO	۱۰,۰۲	۱۰,۰۱	۱۰,۰	۱۰,۰۱	۱۰,۰
Na ₂ O	۰,۷۷	۰	۱,۹۹	۱,۹۱	۱,۸۳
K ₂ O	۱,۰۲	۱,۰۷	۰,۷۷	۱,۰۵	۱,۱۱
total	۹۹,۵۸	۹۷,۱۷	۹۵,۶۵	۹۹,۰۱	۹۹,۱
Si	۳,۱۸	۳,۱۴۵	۳,۱۲	۳,۱۱۷	۳,۱۲۷
Ti	۰,۰۶۲	۰,۰۵۷	۰,۰۱۶	۰,۰۳	۰,۰۱۵
Al ^{IV}	۱,۸۲۱	۰,۸۵۵	۰,۸۸۲	۰,۸۹۱	۰,۸۷۹
Al ^{VII}	۱,۷۱۴	۱,۷۱۸	۱,۹۷۳	۱,۸۹۳	۱,۸۸۳
Cr	۰,۰۰۱	۰	۰	۰,۰۰۲	۰
Fe ^۳	۰	۰	۰	۰	۰
Fe ^۲	۰,۱۲۴	۰,۱۳۲	۰,۰۳۹	۰,۰۲۹	۰,۰۴۵
Mn	۰	۰,۰۰۵	۰,۰۰۵	۰,۰۰۱	۰
Mg	۰,۱۱۸	۰,۱۱۹	۰,۰۱۶	۰,۰۰۷	۰,۰۷۴
Ca	۰,۰۰۱	۰,۰۰۱	۰,۰۰۳	۰,۰۰۱	۰
Na	۰,۰۳۵	۰,۰۳۸	۰,۰۱۳	۰,۰۲۱	۰,۰۲۱
K	۰,۰۶۹	۰,۰۶۷	۰,۰۰۴	۰,۰۰۹	۰,۰۷۳
total	۹,۹۴۴	۹,۹۴۲	۹,۸۶۹	۹,۸۴۳	۹,۸۲۸
X _{Par}	۳,۹۲۸	۴,۲	۲۹	۲۹,۵	۲۸,۸۲
X _{Mus}	۹۷,۹۷	۹۷,۰۹	۹۶,۳	۹۸,۹	۹۷,۸۱
X _{Cld}	۱۴,۴	۱۴,۳۹	۳,۷۹	۷,۵۲	۷,۵۳۵

در مثلث مسکویت-پاراگونیت-سلادونیت [۸]، اکثر نمونه‌ها در محدوده پاراگونیت و مسکویت قرار می‌گیرند (شکل ۸). میکائی سفید در سنگ‌های دگرگون محلول جامدی بین مسکویت و سلادونیت است. تغییرات ترکیبی مسکویت با دما یا رخساره‌های دگرگونی در شکل ۹ آورده شده است [۹]. به طوریکه مشاهده می‌شود، ترکیب شیمیایی مسکویت‌های نسل دوم (سازنده S2) از زون آلماندن تا زون استارولیت تغییر می‌کند. کسر مولی پاراگونیت با بالارفتن درجه دگرگونی، افزایش یافته که این را در مورد نمونه‌های منطقه تنبور می‌توان به خوبی ملاحظه کرد. به این ترتیب که مسکویت‌های نسل دوم از زون گارت به سمت اوایل زون استارولیت، حاوی کسر مولی بالاتری از پاراگونیت‌اند.



شکل ۸ طبقه‌بندی مسکویت‌ها در مثلث مسکویت-پاراگونیت-سلادونیت به علت درجات مختلف دگرگونی [۸].





شکل ۹ ترکیب شیمیایی میکائی سفید در درجات مختلف دگرگونی [۹].

گارنت

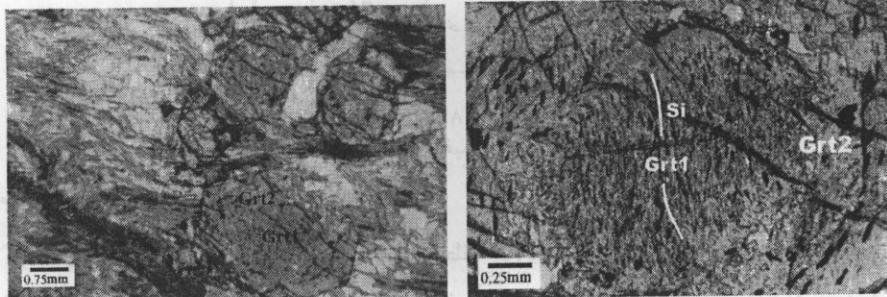
گارنت یکی از مهمترین پورفیروبلاست‌ها در منطقه مورد مطالعه است. روابط برگوارگی داخلی (Si) و برگوارگی زمینه (Se)، برای تعیین سن نسبی رشد کانی‌ها نسبت به برگوارگی به کار می‌رود [۱۰]. لذا مطالعه روابط بافتی گارنت و ارتباط آن با دگرشکلی و دگرگونی بسیار مهم و مفید خواهد بود. در فیلیت‌ها و شیست‌های منطقه، پورفیروبلاست‌های گارنت به فراوانی حضور دارند که در اینجا به ترتیب زمانی به شرح چگونگی تبلور آنها می‌پردازیم:

- رشد مرحله ۱ گارنت: گارنت‌های این مرحله از رشد (G1)، دارای یکسری الگوی ورودی مستقیم تا کمی خمیده هستند (شکل ۱۰). شدت باز یا بسته بودن ریزچین‌های موجود در ورودیهای داخل پورفیروبلاست، نسبت به زمینه وسیله‌ای مفید برای تشخیص مراحل اولیه از مراحل انتهایی دگرشکلی است [۱۰]. این موارد را به خوبی می‌توان در گارنت مرحله ۱ مشاهده کرد. چنانکه مشخص است، الگوی ورودیها به صورت چین‌های بسیار بازی است که می‌توان آنها را به مراحل اولیه D1 نسبت داد. در این نسل از گارنت مقدار $X_{Fe} = 0,584 - 0,610$ ، $X_{Mg} = 0,103 - 0,112$ و $X_{Mn} = 0,050 - 0,040$ درصد است.

- رشد مرحله ۲ گارنت: در این مرحله یک رشد ثانوی در اطراف هسته مرکزی (گارنت G1) مشاهده می‌شود و دارای ورودیهای درشت کوارتز است. با توجه به تفاوت اندازه ورودیهای و حالت S مانند آنها در گارنت، به نظر می‌رسد که این کانی‌ها متعلق به دومین فاز دگرشکلی اند که سبب ایجاد ریزچین روی S1 شده است (شکل ۱۱). در آن مقدار $X_{Fe} = 0,610 - 0,733$ و $X_{Mg} = 0,07 - 0,139$ و $X_{Mn} = 0,007 - 0,122$ است. قطع شدگی در امتداد ورودیهای دانه ریز کوارتز در هسته مرکزی گارنت نسبت به ورودیهای نسبتاً درشت تر کوارتز در حاشیه خود می‌تواند دلیلی بر مرحله بعدی رشد باشد. بررسی نتایج ریزگمانه، نشان دهنده منطقه بندي شیمیایی در گارنت‌هاست، به نحویکه مقدار اسپسارتین و X_{Mn} از هسته به سمت حاشیه کم

شده و مقدار آلماندن و پیروپ افزایش می‌یابد. وجود منطقه بندی شیمیایی غالباً ناشی از رشد در طی افزایش دما است.

وجود ترکیب شیمیایی گارنت مرکزی و حاشیه حاکی از آن است که درجه دگرگونی فاز دوم دگرگونی از فاز نخست بیشتر است. ترکیب شیمیایی افق‌های غنی از گارنت توسط مؤذن [۲] تعیین شده و آنها را مربوط به زون گارنت می‌داند. جدول ۴ ترکیب شیمیایی نسل‌های مختلف گارنت را نشان می‌دهد.



شکل ۱۱ گارنت نسل ۱ (PPL).

شکل ۱۰ گارنت نسل ۲ (PPL).

جدول ۴ ترکیب شیمیایی انواع مختلف گارنت. تعداد کاتيونها براساس ۱۲ اکسیژن محاسبه شده‌اند. مقدار $\text{Fe}^{2+}/\text{O}_3$ بر اساس محاسبات عنصرسنجی به دست آمده‌اند.

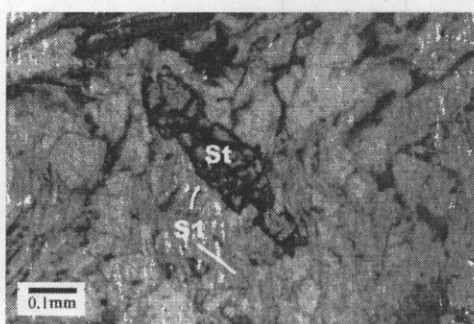
گارنت	G1	G1	G2	G1	G2	G2
SiO ₂	۳۷,۲۸	۳۹,۷۲	۳۷,۴۳	۳۷,۸۸	۳۷,۱۲	۳۷,۶۶
TiO ₂	۰,۰۲	۰,۱	۰	۰,۱۲	۰,۲۱	۰,۰۰۳
Al ₂ O ₃	۲۱,۳	۲۱,۱	۲۱,۲۸	۲۱,۹۵	۲۱,۳۳	۲۱,۳۴
Cr ₂ O ₃	۰	۰,۰۹	۰	۰,۰۲	۰,۰۶	۰
Fe ₂ O ₃	۰	۰,۷۱	۰	۰	۰	۰
FeO	۱۷,۰۳	۲۹,۰۳	۲۹,۲۸	۲۷,۰۳	۲,۵	۲۷,۸۴
MnO	۷,۱۱	۸,۴۸	۳,۴۷	۷,۴۹	۷,۵۴	۵,۲۷
MgO	۱,۴۷	۱,۴۴	۱,۷۳	۱,۴۳	۱,۴۴	۱,۵۹
CaO	۵,۷۵	۵,۶	۶,۷۸	۶,۰۱	۵,۷۴	۹,۲
Na ₂ O	۰,۱	۰	۰,۰۱	۰	۰,۰۲	۰
K ₂ O	۰	۰	۰	۰	۰	۰,۰۱
total	۹۹,۹۷	۱۰۰,۰۵	۹۹,۹۸	۱۰۱,۹۱	۹۹,۹۷	۹۹,۹۹
Si	۲,۹۹۷	۲,۹۶۵	۲,۹۹۹	۲,۹۸۵	۲,۹۸۵	۳,۰۱۵
Ti	۰,۰۱	۰,۰۰۹	۰	۰,۰۰۷	۰,۰۱۳	۰,۰۰۲
Al	۲,۰۱۹	۲,۰۰۹	۲,۰۱	۲,۰۳۹	۲,۰۲۲	۲,۰۱۴
Cr	۰	۰,۰۰۴	۰	۰,۰۰۱	۰,۰۰۴	۰
Fe ₃	۰	۰,۰۴۳	۰	۰	۰	۰
Fe ₂	۱,۰۱۸	۱,۷۵۸	۱,۹۶۲	۱,۷۸۱	۱,۷۸۲	۱,۸۶۵
Mn	۰,۴۸۴	۰,۵۸	۰,۲۳۶	۰,۴۹۸	۰,۵۱۴	۰,۳۵۷
Mg	۰,۱۷۶	۰,۱۴۹	۰,۲۰۷	۰,۱۶۸	۰,۱۷۳	۰,۱۹
Ca	۰,۴۹۵	۰,۴۸۵	۰,۵۸۲	۰,۵۰۸	۰,۴۹۵	۰,۵۳۲
Na	۰,۰۰۲	۰	۰,۰۰۱	۰	۰,۰۰۳	۰
K	۰	۰	۰	۰	۰	۰,۰۰۱
total	۷,۹۹۲	۸	۷,۹۹۷	۷,۹۸۸	۷,۹۹	۷,۹۷۷
Prp	۵,۹۲۳	۵,۰۱۴	۹,۹۱۶	۵,۸۶	۸,۸۲	۹,۴۴۵
Sps	۱۶,۲۷۷	۱۹,۷۸۱	۷,۷۷۲	۱۶,۸۵۲	۱۷,۳۱۵	۱۲,۱۳۸
Alm	۹۱,۰۹۷	۵۹,۷۲۲	۹۵,۶۹۸	۹۰,۷۸۹	۹۰,۰۸۹	۹۲,۳۵۴

ادامه جدول ۴

گارنت	G1	G2	G2	G2	G2	G2	G2
SiO ₂	۳۶,۲	۳۷,۳۵	۳۷,۴۱	۳۶,۸۸	۳۶,۷۵	۳۷,۳۹	۳۷,۱۱
TiO ₂	۰,۱۲	۰	۰,۰۳	۰	۰,۰۲	۰,۰۴	۰,۰۶
Al ₂ O ₃	۲۰,۸۹	۲۱,۷۹	۲۱,۹۹	۲۱,۹۲	۲۱,۶۳	۲۱,۹۸	۲۱,۵۶
Cr ₂ O ₃	۰,۰۵	۰	۰	۰	۰,۱۵	۰,۱۲	۰,۰۱
Fe ₂ O ₃	۲,۲۳	۰	۰,۷	۰,۵۹	۰,۱۷	۰	۰,۶۷
FeO	۲۵,۴۱	۳۲,۲۲	۳۱,۹۶	۳۲,۳۱	۲۸,۵۴	۳۱,۹۱	۳۲,۵
MnO	۸,۷۲	۷,۹۵	۷,۲۳	۷,۰	۷,۵۷	۷,۳۱	۷,۲۹
MgO	۱,۴۲	۳,۰۱	۳,۵۱	۲,۷۷	۲,۷۸	۳,۴۹	۳,۰۵
CaO	۵,۳۲	۲,۶۳	۴,۷۴	۴,۸۶	۴,۵۶	۴,۰۷	۴,۸
Na ₂ O	۰,۰۳	۰	۰,۰۵	۰	۰	۰	۰,۰۱
K ₂ O	۰	۰	۰	۰	۰	۰	۰
total	۱۰۰,۱۸	۹۹,۹۵	۱۰۰,۳۳	۱۰۰,۰۳	۱۰۰,۱۸	۹۹,۹۸	۱۰۰,۰۵
Si	۲,۹۳	۲,۹۸۸	۲,۹۹۷	۲,۹۵۹	۲,۹۹۴	۲,۹۹۷	۲,۹۹۲
Ti	۰,۰۰۸	۰	۰,۰۰۲	۰	۰,۰۰۱	۰,۰۰۲	۰,۰۰۳
Al	۱,۹۹۱	۲,۰۵۵	۲,۰۲۸	۲,۰۴۵	۲,۰۳۹	۲,۰۵۸	۲,۰۲۹
Cr	۰,۰۰۳	۰	۰	۰	۰,۰۱	۰,۰۰۷	۰
Fe ₃	۰,۱۳۹	۰	۰,۰۴۲	۰,۰۴۶	۰,۰۷۱	۰	۰,۰۴
Fe ₂	۱,۷۲	۲,۱۵۹	۲,۱۲	۲,۱۶۸	۱,۹۰۹	۲,۰۹۹	۲,۱۷
Mn	۲,۵۹۹	۰,۲	۰,۰۱۶	۰,۱۰۲	۰,۳۰۹	۰,۳۱	۰,۰۲
Mg	۰,۱۴۷	۰,۳۵۹	-۴,۱۵	-۷,۷۱	۰,۳۳۱	۰,۴۱۳	۰,۳۶۳
Ca	۰,۴۹۱	۰,۲۲۶	۰,۴۰۳	۰,۴۱۸	۰,۳۹۱	۰,۴۳۲	۰,۴۱۱
Na	۰,۰۰۵	۰	۰,۰۰۷	۰	۰	۰	۰,۰۰۲
K	۰	۰	۰	۰	۰	۰	۰
total	۸	۷,۹۸۴	۸	۸	۸	۷,۹۹۹	۸
Prp	۰,۱۵۵	۰	۰	۰,۴۹۱	۰,۳۷	۰,۰۳۱	
Sps	۶,۲۹۷	۰	۱,۹۱۱	۳,۲۹۱	۱,۶۷۹	۱,۶۷۹	
Alm	۵,۰۰۹	۱۲,۲۱	۱۴,۰۴	۹,۱۶۲	۱۱,۲۵۵	۱۳,۹۳۶	۱۲,۲۱۹
Prp	۲۰,۳۹	۶,۷۹۹	۰,۰۴	۳,۴۴	۱,۰۴۸۹	۰,۷۰۳	۰,۹۶
Sps	۹,۲۴۸	۷,۶۹۸	۱۳,۰	۱۲,۴۸۶	۹,۵۴۶	۱۴,۱۸	۱۲,۱۱
Alm	۵۸,۷۴	۷۳,۳۲۲	۷۱,۷۶	۶۵,۱۹۳	۶۳,۹۳۵	۷۰,۸۱	۷۳,۲۴۹

استارولیت

در قسمتی از گارنت میکاشیست‌های مجموعه تنبور، تعدادی استارولیت (کمتر از ۵٪) یافت می‌شود. توجه به خصوصیات میکروسکوپی، نشان می‌دهد که ارتباط آنها با دگرگشکل واضح نیست ولی با توجه به طرز قرارگیری آنها نسبت به S₂، استارولیت را به احتمال قوی می‌توان هم‌زمان با S₂ در نظر گرفت (شکل ۱۲).



شکل ۱۲ استارولیت که احتمالاً هم‌زمان با S₂ شکل گرفته است (PPL).

پلازیوکلاز

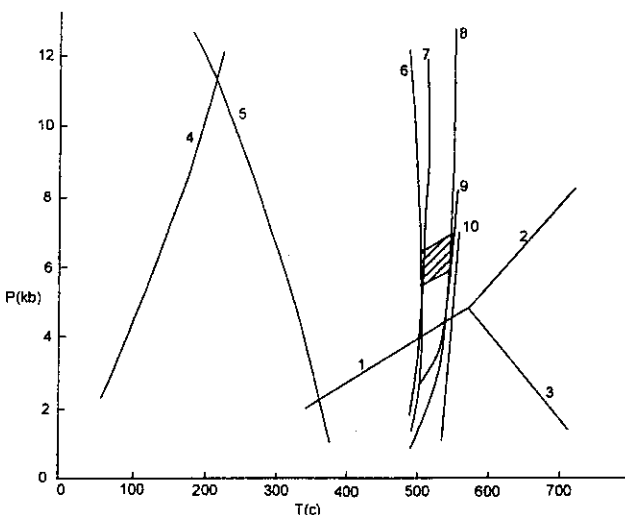
طول پلازیوکلازها معمولاً تا ۲ میلیمتر است. ماکل آلبیتی به ندرت در آنها دیده می‌شود، زیرا در رخساره شیست سبز و حتی اوایل آمفیبولیت، فلدسپارها بخصوص، آلبیت، بدون ماکل هستند و با افزایش دما، ماکل در آنها به وجود می‌آید [۱۱ و ۱۲]. بررسی ترکیب شیمیایی ۲ نمونه از فلدسپارهای گارنت-میکاشیست‌ها نشان می‌دهد که فلدسپار عموماً از جنس الیگوکلاز (An_{۲۳-۲۹}) هستند (جدول ۵).

محاسبات زمین دما- فشارسنگی

برای تعیین شرایط دگرگونی که منطقه را تحت تأثیر قرار داده است، از شبکه سنگزایی و معادلات مختلف زمین دما- فشارسنگی استفاده شده است. طبق شبکه سنگزایی رسم شده براساس کانی‌ها و منحنی‌های تعادلی واکنش‌ها، فشار و دمای حدود ۷-۵ کیلوبار و ۵۰۰-۵۵۰ درجه سانتیگراد بدست آمد (شکل ۱۳).

جدول ۵ نتایج تجزیه شیمیایی ۲ نمونه از فلدسپارهای منطقه و محاسبه کاتیونها و اجزای انتهایی آنها بر مبنای ۸ اکسیژن.

پلازیوکلاز	OTI (1)	OTI (2)
SiO ₂	۶۱,۵۸	۶۲,۵۵
TiO ₂	۰	۰
Al ₂ O ₃	۲۲,۵۳	۲۲,۶۲
Cr ₂ O ₃	۰	۰
Fe ₂ O ₃	۰	۰
FeO	۰	۰
MnO	۰,۰۸	۰,۰۴
MgO	۰	۰
CaO	۵,۹۳	۴,۷۵
Na ₂ O	۷,۷۴	۶,۷۱
K ₂ O	۱,۳۱	۱,۷۹
total	۱۰۰,۱۹	۱۰۰,۷۹
Si	۲,۷۴۶	۲,۷۷۶
Ti	۰	۰
Al	۱,۲۸۱	۱,۲۹۳
Cr	۰	۰
Fe ³	۰	۰
Fe ²	۰	۰
Mn	۰,۰۰۱	۰,۰۰۱
Mg	۰	۰
Ca	۰,۲۸۱	۰,۲۴۹
Na	۰,۹۹۴	۰,۵۷۸
K	۰,۱۱۸	۰,۱۵۸
total	۲,۹۷۴	۲,۹۷۴
X _{Ab}	۰,۷۰	۰,۶۰
X _{An}	۰,۲۹۷	۰,۲۴۴



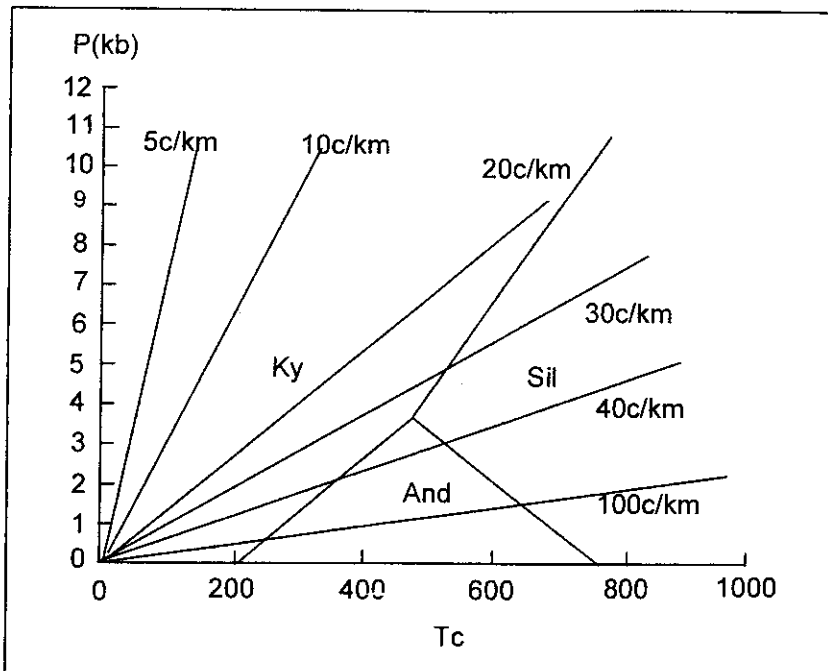
شکل ۱۲ شبکه سنگ‌زایی و محدوده‌ی تقریبی فشار - دما (بخش هاشور خودره) برای دگرگونی‌های منطقه مورد مطالعه. اعداد داخل شبکه به ترتیب: ۱، ۲، ۳: نمودار پایداری سیلیکات‌های آلومین، ۴: واکنش $\text{Ms} + \text{Chl} = \text{Ms} + \text{Bt} + \text{Qtz} + \text{H}_2\text{O}$ و اکنش $\text{Ms} + \text{Chl} = \text{Ms} + \text{Bt} + \text{Qtz} + \text{H}_2\text{O}$ -۵: $\text{Ms} + \text{Chl} = \text{Ms} + \text{Bt} + \text{Qtz} + \text{H}_2\text{O}$ -۶: واکنش $\text{Ms} + \text{Chl} = \text{Bt} + \text{Alm} + \text{H}_2\text{O}$ -۷: واکنش $\text{Ms} + \text{Chl} = \text{Bt} + \text{Alm} + \text{H}_2\text{O}$ -۸: واکنش $\text{Ms} + \text{Chl} = \text{Bt} + \text{Alm} + \text{H}_2\text{O}$ -۹: واکنش $\text{Ms} + \text{Chl} = \text{Bt} + \text{Alm} + \text{H}_2\text{O}$ -۱۰: واکنش $\text{Ms} + \text{Chl} = \text{Bt} + \text{Alm} + \text{H}_2\text{O}$ -۱۱: واکنش $\text{Ms} + \text{Chl} = \text{Bt} + \text{Alm} + \text{H}_2\text{O}$ -۱۲: واکنش $\text{Ms} + \text{Chl} = \text{Bt} + \text{Alm} + \text{H}_2\text{O}$ -۱۳: واکنش $\text{Ms} + \text{Chl} = \text{Bt} + \text{Alm} + \text{H}_2\text{O}$ -۱۴: واکنش $\text{Ms} + \text{Chl} = \text{Bt} + \text{Alm} + \text{H}_2\text{O}$ -۱۵: واکنش $\text{Ms} + \text{Chl} = \text{Bt} + \text{Alm} + \text{H}_2\text{O}$.

کاربرد زمین دما‌سنج گارنت-بیوتیت که توسط فری و اسپیر [۱۳] همسنجی شد، دمای تقریبی ۵۵۴ درجه سانتیگراد را برای دگرگونی M2 تعیین می‌نماید. از دما‌سنج مسکویت-بیوتیت همسنجی شده توسط هوایش [۱۴] دمای تقریبی ۵۹۰ درجه سانتیگراد برای اوج دگرگونی M2 محاسبه گردید. فشار از طریق روش هلند و پاول [۱۵] با استفاده از سیستم گارنت - پلازیوکلаз - مسکویت - بیوتیت - کوارتز ۷ تا ۸/۴۸ کیلوبار است.

سنگ‌زایی

به علت عدم وجود داده‌های دما-فشار‌سنجی برای مرحله نخست دگرگونی، نمی‌توان دما و فشاری را برای آن به دست آورد. تنها می‌توان در مورد دومین فاز دگرگونی اظهار نظر کرد. گرادیان زمین گرمایی تقریبی در این مرحله بر اساس نمودار میاشیرو [۱۶] ۲۰ C/Km است (شکل ۱۴). شواهد زیر دال بر نوع فشار متوسط (بارووین) برای سنگ‌های دگرگون منطقه است:

- فراوانی گارنت در متابلیتها و متابازیتها
- حضور استارولیت در متابلیتها
- گرادیان زمین گرمایی 20 C/Km در زمان پیشرفت دگرگونی.
- فشارهای بین ۷ الی ۸ کیلوبار.



شکل ۱۴ میانگین گرادیان زمین‌گرمایی در مناطق مختلف دگرگونی [۱۶]. ۱- فشار بالا یا نوع گلوکوفان ۲- بارووین یا فشار متوسط ۳- دگرگونی نوع فشار پائین)

برداشت

مجموعه دگرگونی تنبور که جزئی از زون سنندج- سیرجان است، اغلب شامل متاپلیت‌ها و متاپازیت‌هاست. بررسی‌های بافت‌شناسی سنگ و شیمی کانی‌های سنگهای متاپلیتی حاکی از رخداد دو مرحله دگرشکلی و دو فاز دگرگونی در سنگ‌های منطقه است. با توجه به مطالعات زمین دما- فشارسنگی می‌توان عنوان کرد که دومین فاز دگرگونی پیشرونده در منطقه از نوع فشار متوسط بوده و تا حد رخسارهای شیست سبز و آمفیبولیت پیش رفته است. از اینرو و بنا به موقعیت منطقه نسبت به زون سنندج - سیرجان می‌توان نتیجه گرفت که این منطقه در طول فاز کوهزایی کیمرین پیشین تحت تأثیر قرار گرفته است. با توجه به عدم مشاهده دگرگونی‌های فشار بالا و مطالعات فوق می‌توان منطقه قوس را به دگرگونی‌های مذکور نسبت داد.

تشکر و قدردانی

از راهنماییهای سازنده آقای دکتر مؤذن و از همکاری آقای دکتر Brendt از دانشگاه مونستر آلمان برای تجزیه نقطه‌ای کانی‌ها تشکر و قدردانی می‌نماید.

مراجع

- [۱] سبزه‌ای م، "نقشه ۱/۱۰۰۰۰ چهارگوش سیرجان"، سازمان زمین‌شناسی کشور (۱۳۷۶).
- [۲] مؤذن م، "پترولوزی (سنگ‌شناسی) مجموعه دگرگونی کوه تنبور با نگرش ویژه به لایه‌های غنی از گارنت"، پایان‌نامه کارشناسی ارشد، دانشگاه شهید باهنر کرمان، دانشکده علوم (۱۳۷۱) ۱۶۲.
- [۳] Hey M. T., "A new review of chlorites", *Mineral. Mag.*, v.30 (1954) 278-292.
- [۴] Cathlineau M., "Cation site Occupancy in chlorite and illite as a function of temperature", *Clay Mineral.*, v. 23 (1988) 471-485.
- [۵] ساکی ع، موذن م، تالاری س، صبوری س، "مینرال شیمی، حلایت و نحوه تشکیل کلریت‌های پس از دگرشکلی در سنگهای متابولیتی جنوب غرب ماهنشان"، پازدهمین کنفرانس بلورشناسی و کانی‌شناسی ایران (۱۳۸۲) ۲۴۱-۲۴۸.
- [۶] Abu El-Enen M. M., Will T. M., Okrusch M., "P-T evolution of the Pan-African Taba metamorphic belt, Sinai, Egypt constraints from metamorphic mineral assemblages", *J. of. African Earth Sciences*, v. 38 (2004) 39-78.
- [۷] Deer W. A., et al., "An Introduction to the Rock Forming Minerals Seventeenth impression", Longman Scientific Technical (1991) 528.
- [۸] Schliestedt M., "Phasengleichgewichte in Hoch druckgesteinen von Sifnos", Griechen land. Ph.D. Thesis, Technical University Braunschweig, Germany (1980) 142.
- [۹] Guidotti C. V., "A comment on chemical study of minerals from the Moine Schists of the Ardnamurchan area, Argyllshire, Scotland by Butler, B. C. M. and its implications for the phengite problem", *J. of. Petrol.*, v.10 (1963) 164-170.
- [۱۰] Mamtani M. A., Merh S. S., Karanth R. V., Greiling R. O., "Time relationship between Metamorphism and deformation in Proterozoic rocks of the Lunarada region, Southern Aravalli Mountain Belt (India)-a microstructural study", *J. Asian Earth Sciences*, v.19 (2001) 195-205.
- [۱۱] Engel A. E. J., Engel C. G., "Progressive metamorphism of amphibolite, Northwest Adirondack Mountains", New York. In Petrologic Studies (Buddington Vol.), ed. by: A. E. J. Engel et al., Geol. Soc. America (1962a) 37-82.
- [۱۲] Iwasaki M., "Metamorphic rocks of the Kotu-Bizan area", eastern Sikoku.Tokyo Uni. Fac. Sci. J., Sec. 2, 15 (1963) 191-7.
- [۱۳] Ferry J. M., Spear F. S., "Experimental calibration of the partitioning of Fe and Mg between biotite and garnet", *Cont.Miner.Pet.*, v.66 (1978) 113-117.

[14] Hoisch T. D., "A muscovite-biotite geothermometer", Am Mineral. v.74 (1989) 565-572.

[15] Holland J. J. B., Powell R., "An internally consistent thermodynamic data set for phases of petrological interest", J. Metamorphic. Geol., v.16 (1998) 309-343.

[۱۶] میاشیرو آ., "پترولوژی دگرگونی", ترجمه محمد ولی زاده و محمود صادقیان، انتشارات

دانشگاه تهران (۱۳۷۹) صفحه ۵۰۲